

Çöz-Aktar İşbirlikli NOMA Sistemlerinin Nakagami-m Sönümlmeli Kanallarda Hata Analizi Error Analysis of Decode-Forward Cooperative Relaying NOMA Schemes over Nakagami-m Fading Channels

Ferdi KARA, Hakan KAYA

Kablosuz İletişim Teknolojileri Araştırma Laboratuvarı (KİTLab)

Elektrik-Elektronik Mühendisliği

Zonguldak Bülent Ecevit Üniversitesi

Zonguldak, TÜRKİYE 67100

E-posta: {f.kara,hakan.kaya}@beun.edu.tr

Özetçe —Dik-olmayan çoklu erişim (NOMA) sağladığı yüksek spektral verimlilik sayesinde son yıllarda pek çok araştırmaya konu olmuştur. En fazla araştırılan konuların başında gelen işbirlikli NOMA sistemleri de hem akademiden hem de endüstriden bir çok araştırmacının oldukça ilgisini çekmiştir. Fakat, yapılan çalışmaların çoğunluğunda, işbirlikli NOMA yalnızca ulaşılabilir kapasite ve kesinti olasılığı açısından incelenirken, en önemli başarımlarından biri olan bit hata olasılığı (BHO) göz ardı edilmiştir. Bu çalışmada, çöz-aktar protokü kullanılan işbirlikli NOMA sistemlerinin BHO başarımları incelenmiştir. Daha genel bir kanal modeli olan Nakagami-m sönümlmeli kanallar için BHO ifadeleri kapalı formda elde edilmiştir. Türetilen ifadeler bilgisayar benzetimleri ile doğrulanmıştır.

Anahtar Kelimeler—işbirlikli iletişim, dik-olmayan çoklu erişim, hata analizi, Nakagami-m

Abstract—Non-orthogonal multiple access (NOMA) has attracted great recent attention due to its high spectral efficiency. Besides, NOMA can be easily implemented in physical layer, thus its interplays with other physical layer techniques have been analyzed widely by researchers. Cooperative NOMA schemes are the most investigated among these interplays. However, these studies mostly analyze cooperative NOMA schemes in terms of achievable rate and outage probability whereas bit error probability (BEP) for those systems has not been studied well although it is one of the most important performance metrics. In this paper, we investigate the error performance of cooperative NOMA schemes where a decode-forward relay helps NOMA users. We derive exact BEP expressions in closed-form over Nakagami-m fading channels. All derived expressions are validated via computer simulations.

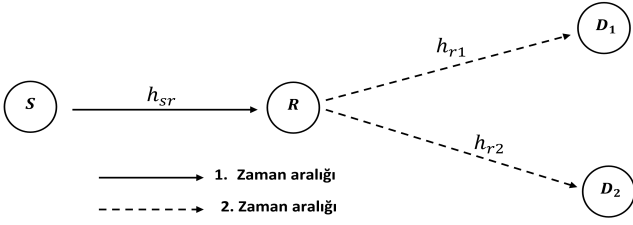
Keywords—cooperative communication, non-orthogonal multiple access, error analysis, Nakagami-m

I. GİRİŞ

Dik-olmayan çoklu erişim (non-orthogonal multiple access -NOMA) sağladığı yüksek verimlilik sayesinde 5G ve sonrası kablosuz ağlar için en önemli adaylardan biri konumundadır.

NOMA farklı kullanıcıların aynı radyo kaynağını farklı güç paylaşım katsayıları ile kullanılması prensibine dayanmaktadır. Bu işlem süperpozisyon kodlaması olarak adlandırılır. Aynı radyo kaynaklarının kullanılması sonucunda oluşan kullanıcılar arası girişim alıcılarda ardışık girişim giderici (successive interference canceler -SIC) kullanarak giderilir [1]. NOMA'nın fiziksel seviye açısından bu kadar kolay uygulanabilir olması, NOMA ve diğer fiziksel seviye tekniklerin beraber uygulandığı çalışmaların hızla artmasına sebep olmuştur. Bunların başında da işbirlikli iletişim ve NOMA'nın beraber uygulandığı çalışmalar gelemektedir [2], [3]. [4]'te yazarlar NOMA kullanıcılarına bir röle yardımıyla iletişimin sağlandığı sistemi ele almışlar ve ulaşılabilir kapasite/hız analizleri sunulmuştur. [4]'te verilen analizler farklı kanal modelleri için genişletilmiştir [5]. Daha sonra ortamda bulunan rölenin iki farklı NOMA ağı tarafından paylaşıldığı durumda kesinti olasılığı analizleri sunulmuştur [6]. Kaynak ile NOMA kullanıcıları arasında direkt yolun da bulunduğu durum için kapasite ve kesinti olasılığı analizleri de verilmiştir [7]. Ayrıca, ortamda birden çok rölenin bulunduğu durumda, NOMA kullanıcıları için röle seçimi algoritmaları da araştırılmış ve önerilen algoritmalar için kapasite ile kesinti olasılığı ifadeleri türetilmiştir [8], [9]. Fakat, yukarıda da belirtildiği gibi işbirlikli NOMA çalışmaları çoğunlukla yalnızca kapasite ve kesinti olasılığı açısından araştırılmış olup hata performansları göz ardı edilmiştir. Sadece [10]'da Rayleigh sönümlmeli kanallar için bit hata olasılığı ifadeleri sunulmuştur. Fakat, daha genel kanal modelleri için literatürde herhangi bir çalışma yapılmamıştır.

Bu çalışmada, çöz-aktar protokü kullanan bir işbirlikli NOMA sistemi için bit hata olasılığı (BHO) ifadeleri Nakagami-m sönümlmeli kanallarda kapalı formda türetilmiştir. Elde edilen ifadeler Monte Carlo benzetimleri ile doğrulanmıştır. Çalışmanın bundan sonraki bölümleri aşağıdaki gibidir. Bölüm II'de çöz-aktar işbirlikli NOMA sistemi tanıtılmaktadır. Bölüm III'te, BHO ifadelerinin teorik çıkarımları verilmiştir. Daha sonra Bölüm IV'te, elde edilen ifadelerin doğrulamaları bilgisayar benzetimleri ile sunulmuştur. Son olarak, Bölüm V'te sonuçlar tartışılmış ve çalışma sonlandırılmıştır.



Şekil 1: Çöz-Aktar İşbirlikli NOMA Sistemi

II. SİSTEM MODELİ

Tüm düğümlerin tek antene sahip olduğu bir işbirlikli iletişim sistemi ele alınmıştır. Sistem modelinde bir kaynak (S), çöz-aktar protokolü kullanan bir röle (R) ve iki adet kullanıcı (D_i , $i = 1, 2$) bulunmaktadır. Yarı çift yönlü iletişim düşünülmektedir. Bu nedenle toplam iletişim iki zaman diliminde tamamlanmaktadır. Sistem modeli Şekil 1'de verilmiştir. Spektral verimliliği artırmak adına kullanıcıların sembolleri NOMA kullanılarak iletildiğinden, birinci zaman diliminde kaynaktan gönderilen toplam işaret, rölede

$$y_{sr} = \sqrt{P_s} (\sqrt{\alpha_1} x_1 + \sqrt{\alpha_2} x_2) h_{sr} + n_{sr} \quad (1)$$

olarak alınır. Burada P_s kaynak iletim gücünü, h_{sr} kaynak-röle arasındaki sönmülemeli kanal katsayısını ve n_{sr} toplamsal Gauss gürültüsünü göstermektedir. h_{sr} 'nin zarfının Nakagami-m dağılımlı olduğu varsayılmaktadır. n_{sr} sıfır beklenen değer ve N_0 varsanya sahiptir. Denklem (1)'de verilen $\sqrt{\alpha_i}$, x_i , $i = 1, 2$ çiftleri sırasıyla kullanıcı D_i için güç paylaşım katsayısını ve kullanıcıların temel bant modülasyonlu sembollerini göstermektedir. Burada $\alpha_2 > \alpha_1$ ve $\alpha_1 + \alpha_2 = 1$ olarak verilir. x_i , $i = 1, 2$ sembollerinin ikili faz kaydırmalı anahtarlama kullanılarak (binary phase shift keying -BPSK) modüle edildiği varsayılmıştır. Alınan y_{sr} işaretine göre, röle öncelikle x_1 sembollerini gürültü gibi düşünerek x_2 sembollerini demodüle eder/çözer. Daha sonra demodüle edilen semboller tekrar modüle ederek \hat{x}_2 sembollerini alınan y_{sr} 'den çıkarır ve x_1 sembollerini demodüle eder/çözer. Bu işlem SIC olarak adlandırılır. Röle her iki kullanıcının sembollerini elde ettikten sonra, ikinci zaman diliminde tekrar süperpozisyon uygulayarak kullanıcılara gönderir. İkinci zaman diliminde her bir kullanıcıda alınan işaret

$$y_{ri} = \sqrt{P_r} (\sqrt{\beta_1} \hat{x}_1 + \sqrt{\beta_2} \hat{x}_2) h_{ri} + n_{ri}, \quad i = 1, 2 \quad (2)$$

olarak verilir. Burada P_r rölenin iletim gücünü, h_{ri} röle ile i . kullanıcı arasındaki sönmüleme katsayısını göstermektedir. \hat{x}_i ve β_i , $i = 1, 2$ sırasıyla rölede demodüle-tekrar modüle edilen i . kullanıcının temel bant işaretini ve i . kullanıcı için güç paylaşım katsayısını göstermektedir. $\beta_2 > \beta_1$ ve $\beta_1 + \beta_2 = 1$ olarak verilir. Son olarak, kullanıcılar alınan y_{ri} işaretine göre kendi sembollerini kestirirler. Bu aşamada D_2 kullanıcısı \hat{x}_1 sembollerine gürültü gibi davranarak kendi sembollerini demodüle ederken, D_1 kullanıcı SIC işlemi uygulamalıdır.

III. BİT HATA OLASILIĞI ANALİZİ

Çöz-aktar protokolü kullanan bir röle kullanıldığından sistemin uçtan-uca (end-to-end -e2e) toplam BHO'sunu bulabilmek için her zaman dilimindeki BHO ifadeleri bulunmalıdır. Her iki zaman dilimindeki hata olaylarının istatistiksel olarak

bağımsız olduğu düşünülürse, her bir kullanıcı için e2e BHO ifadesi, toplam olasılık kuralından yararlanılarak

$$P_i^{(e2e)}(e) = P_i^{(sr)}(e) \times \left(1 - P_i^{(ri)}(e)\right) + \left(1 - P_i^{(sr)}(e)\right) P_i^{(ri)}(e), \quad i = 1, 2 \quad (3)$$

olarak bulunur. Burada $P_i^{(sr)}(e)$ birinci zaman diliminde kaynak ile röle arasındaki hata olasılığını ve $P_i^{(ri)}(e)$ de ikinci zaman diliminde röle ile i . kullanıcı D_i arasındaki hata olasılığını göstermektedir. İlk olarak kaynak ve röle arasındaki iletişimi ele alalım. Bir aşağı yönlü NOMA sistemi gibi düşünülebilir ve röledeki hata olasılıkları geleneksel NOMA'daki yakın kullanıcı hata olasılıklarına dönüşür. NOMA'da süperpozisyon uygulandığı için toplam sembolün işaret-yıldız kümesi de süperpozisyona uğramış olur. Bu durumda demodüle/çözme sırasında öncelikli olan x_2 sembolleri için hata olasılığı ifadesi bu toplam işaret-yıldız kümesine göre bulunur. Her iki kullanıcının da BPSK ile modüle edildiği durumda x_2 sembolleri için koşullu hata olasılığı ifadesi

$$P_2^{(sr)}(e|\gamma_{sr}) = \sum_{k=1}^2 \sigma_k Q\left(\sqrt{2\lambda_k \rho_s \gamma_{sr}}\right) \quad (4)$$

olarak verilir [11]. Burada $\gamma_{sr} \triangleq |h_{sr}|^2$, $\rho_s = P_s/N_0$, $\sigma_k = 0.5$, $k = 1, 2$ ve $\lambda_k = (\sqrt{\alpha_2} \mp \sqrt{\alpha_1})^2$, $k = 1, 2$ şeklinde tanımlanır. h_{sr} Nakagami-m dağılımlı olduğu durumda γ_{sr} Gamma dağılımına sahip olur. Ortalama hata olasılığı ifadesini bulabilmek için (4)'te verilen ifadenin Gamma dağılımının olasılık yoğunluk fonksiyonu kullanılarak integrali alınırsa, [12] yardımıyla

$$P_2^{(sr)}(e) = \begin{cases} \sum_{k=1}^2 \frac{\sigma_k}{2} \left[1 - \mu^2(a_k) \sum_{l=0}^{m_{sr}-1} \binom{2l}{l} \left(\frac{1-\mu^2(a_k)}{4}\right)^l\right], & m_{sr} \text{ tamsayı} \\ \sum_{k=1}^2 \frac{\sigma_k}{2\sqrt{\pi}} \frac{\sqrt{a_k}}{(1+a_k)^{m_{sr}+0.5}} \frac{\Gamma(m_{sr}+0.5)}{\Gamma(m_{sr}+1)} \times {}_2F_1\left(1, m_{sr}+0.5; m_{sr}+1; \frac{1}{1+a_k}\right), & m_{sr} \text{ tamsayı değil} \end{cases} \quad (5)$$

olarak bulunur. Burada, Burada $a_k = \frac{\lambda_k \rho_s \Omega_{sr}}{2m_{sr}}$, $\Omega_{sr} = E[\gamma_{sr}]$ olarak tanımlanır. $\mu(z) = \sqrt{\frac{z}{1+z}}$ olarak verilir [13]. $\Gamma(\cdot)$ ve ${}_2F_1(\cdot, \cdot; \cdot; \cdot)$ sırasıyla Gamma [14, Eq. (8.31)] ve Gauss Hipergeometrik [14, Eq. (9.10)] fonksiyonlarıdır.

x_1 sembollerinin hata olasılığı gerçekleştirilen SIC işleminin başarımına bağlıdır. Bu nedenle doğru ve hatalı SIC işlemlerinin gerçekleştiği koşullar ayrı ayrı değerlendirilmelidir. Kaynak röle arasındaki koşullu hata olasılığını bulabilmek için [15, Eq. (6)- Eq. (9)] adımları tekrarlanırsa,

$$P_1^{(sr)}(e|\gamma_{sr}) = \sum_{k=1}^5 \tau_k Q\left(\sqrt{2\nu_k \rho_s \gamma_{sr}}\right) \quad (6)$$

olarak bulunur. Burada, $\tau_k = 1/2[-1, 1, 2, 1, -1]$ ve $\nu_k = \left[(\sqrt{\alpha_2} + \sqrt{\alpha_1})^2, (\sqrt{\alpha_2} - \sqrt{\alpha_1})^2, \alpha_1, (2\sqrt{\alpha_2} + \sqrt{\alpha_1})^2, (2\sqrt{\alpha_2} - \sqrt{\alpha_1})^2\right]$ olarak verilir. Denklem (6)'da verilen

koşullu olasılık ifadesinin ortalaması alınır, (5)'te olduğu gibi

$$P_1^{(sr)}(e) = \begin{cases} \sum_{k=1}^5 \frac{\tau_k}{2} \left[1 - \mu^2(b_k) \sum_{l=0}^{m_{sr}-1} \binom{2l}{l} \left(\frac{1-\mu^2(b_k)}{4} \right)^l \right], & m_{sr} \text{ tamsayı} \\ \sum_{k=1}^5 \frac{\tau_k}{2\sqrt{\pi}} \frac{\sqrt{b_k}}{(1+b_k)^{m_{sr}+0.5}} \frac{\Gamma(m_{sr}+0.5)}{\Gamma(m_{sr}+1)} \times \\ {}_2F_1 \left(1, m_{sr} + 0.5; m_{sr} + 1; \frac{1}{1+b_k} \right), & m_{sr} \text{ tamsayı değil} \end{cases} \quad (7)$$

şeklinde elde edilir. Burada $b_k = \frac{\nu_k \rho_s \Omega_{sr}}{2m_{sr}}$ olarak tanımlanır.

Rölede demodüle edilen semboller tekrar modüle edilip farklı güç katsayıları ile kullanıcılara gönderildiğinden, ikinci zaman dilimindeki iletişim geleneksel aşağı yönlü NOMA iletişimine dönüşmektedir. Dolayısıyla ikinci zaman dilimi için hata olasılığı ifadeleri, birinci zaman diliminde yapılan işlemler tekrarlanarak elde edilebilir. Uzak kullanıcı olarak adlandırılan D_2 kendi sembollerini \hat{x}_1 sembollerine gürültü gibi davranarak demodüle ettiğinden, $R-D_2$ arasındaki ortalama hata olasılığı ifadesi (4)-(5) yardımıyla

$$P_2^{(r2)}(e) = \begin{cases} \sum_{k=1}^2 \frac{\sigma_k}{2} \left[1 - \mu^2(c_k) \sum_{l=0}^{m_{r2}-1} \binom{2l}{l} \left(\frac{1-\mu^2(c_k)}{4} \right)^l \right], & m_{r2} \text{ tamsayı} \\ \sum_{k=1}^2 \frac{\sigma_k}{2\sqrt{\pi}} \frac{\sqrt{c_k}}{(1+c_k)^{m_{r2}+0.5}} \frac{\Gamma(m_{r2}+0.5)}{\Gamma(m_{r2}+1)} \times \\ {}_2F_1 \left(1, m_{r2} + 0.5; m_{r2} + 1; \frac{1}{1+c_k} \right), & m_{r2} \text{ tamsayı değil} \end{cases} \quad (8)$$

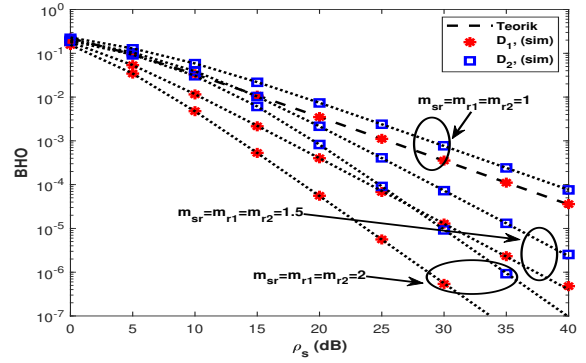
olarak bulunur. Burada $c_k = \frac{\eta_k \rho_r \Omega_{r2}}{2m_{r2}}$, $\rho_r = P_r/N_0$ ve $\Omega_{r2} = E[\gamma_{r2}]$ olarak tanımlanır. Ayrıca, $\eta_k = (\sqrt{\beta_2} \mp \sqrt{\beta_1})^2$, $k = 1, 2$ ve $\gamma_{r2} \triangleq |h_{r2}|^2$ şeklinde verilir.

Benzer şekilde $R-D_1$ arasındaki ortalama hata olasılığı ifadesi (6)-(7) yardımıyla

$$P_1^{(r1)}(e) = \begin{cases} \sum_{k=1}^5 \frac{\tau_k}{2} \left[1 - \mu^2(d_k) \sum_{l=0}^{m_{r1}-1} \binom{2l}{l} \left(\frac{1-\mu^2(d_k)}{4} \right)^l \right], & m_{r1} \text{ tamsayı} \\ \sum_{k=1}^5 \frac{\tau_k}{2\sqrt{\pi}} \frac{\sqrt{d_k}}{(1+d_k)^{m_{r1}+0.5}} \frac{\Gamma(m_{r1}+0.5)}{\Gamma(m_{r1}+1)} \times \\ {}_2F_1 \left(1, m_{r1} + 0.5; m_{r1} + 1; \frac{1}{1+d_k} \right), & m_{r1} \text{ tamsayı değil} \end{cases} \quad (9)$$

olarak bulunur. Burada $d_k = \frac{\zeta_k \rho_r \Omega_{r1}}{2m_{r1}}$, $\Omega_{r1} = E[\gamma_{r1}]$, $\zeta_k = [(\sqrt{\beta_2} + \sqrt{\beta_1})^2, (\sqrt{\beta_2} - \sqrt{\beta_1})^2, \beta_1, (2\sqrt{\beta_2} + \sqrt{\beta_1})^2, (2\sqrt{\beta_2} - \sqrt{\beta_1})^2]$ ve $\gamma_{r2} \triangleq |h_{r2}|^2$ şeklinde verilir.

Son olarak D_1 kullanıcısı için (7) ve (9), D_2 kullanıcısı için ise (5) ve (8) ifadeleri denklem (3)'te yerine konularak e2e hata olasılıkları kapalı formda elde edilir.



Şekil 2: Çöz-aktar işbirlikli NOMA için hata performansı, $\Omega_{sr} = 10dB$, $\Omega_{r1} = 10dB$ ve $\Omega_{r2} = 0dB$

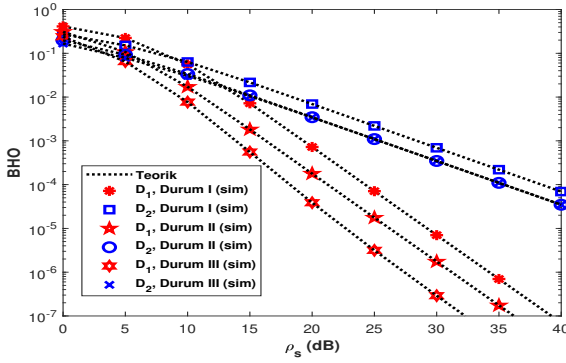
IV. NÜMERİK SONUÇLAR

Bu bölümde, bir önceki bölümde elde edilen teorik ifadelerin doğrulamaları bilgisayar benzetimleri ile sunulmuştur. Tüm benzetimlerde, röle gücünün kaynak gücüne eşit olduğu varsayılmıştır ($P_s = P_r$). Bu bölümde sunulan tüm şekillerde, teorik sonuçlar çizgilerle gösterilirken benzetim sonuçları işaretçilerle (marker) sunulmuştur.

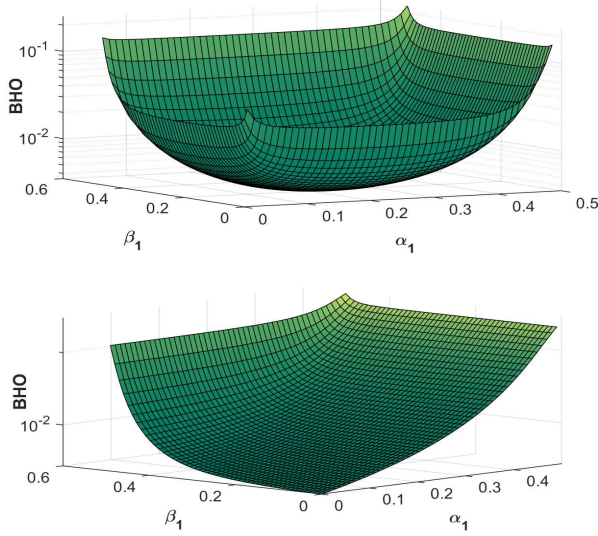
Şekil 2'de kullanıcıların hata performansları tüm düğümler arasındaki kanal biçim parametrelerinin eşit olduğu durum için ($m_{sr} = m_{r1} = m_{r2}$) sunulmuştur. Ortalama kanal güçleri $\Omega_{sr} = 10dB$, $\Omega_{r1} = 10dB$ ve $\Omega_{r2} = 0dB$ olarak alınmıştır. Şekil 2'den görüldüğü üzere, benzetim sonuçları elde edilen teorik ifadelerle birebir örtüşmektedir. Ayrıca, biçim parametrelerinin çeşitlilik (diversity) derecesine eşit olduğu açıkça gözükmektedir.

Şekil 3'te ise düğümlerin biçim parametrelerinin farklı olduğu durumda ($m_{sr} = 2$, $m_{r1} = 3$ ve $m_{r2} = 1$) kullanıcıların hata performansları sunulmuştur. Benzetim sonuçları 3 farklı ortalama kanal güç durumları için verilmiştir. Durum I' de $\Omega_{sr} = 3dB$, $\Omega_{r1} = 3dB$, $\Omega_{r2} = 0dB$, Durum II'de $\Omega_{sr} = 6dB$, $\Omega_{r1} = 6dB$, $\Omega_{r2} = 3dB$ ve Durum III'te $\Omega_{sr} = 10dB$, $\Omega_{r1} = 6dB$, $\Omega_{r2} = 3dB$ olarak varsayılmıştır. Tüm durumlarda açıkça gözükmektedir ki, kullanıcıların uçtan-uca çeşitlilik derecesi düğümlerdeki minimum m parametresi tarafından belirlenmektedir. Bu durum, çöz-aktar protokolünün kullanıldığı işbirlikli iletişim sistemleri için beklenen bir sonuçtur. Şekil 3'te D_1 kullanıcısı için çeşitlilik derecesinin $\min\{2, 3\} = 2$ ve D_2 kullanıcısı için ise $\min\{2, 1\} = 1$ olduğu kolayca görülebilir. Ortalama kanal güçlerinin değişmesinin ise beklenildiği gibi çeşitlilik derecesine bir etkisi olmamaktadır. Ortalama kanal gücünün artmasıyla kullanıcıların hata performanslarında yatay bir artış gözlenmektedir. Fakat, bu artış biçim parametresi daha düşük olan D_2 kullanıcısında daha az miktarda olmaktadır. Hatta, Durum II'den Durum III'e geçişte kaynak-röle arasındaki ortalama kanal gücü artmasına rağmen D_2 kullanıcısının hata performansında kayda değer bir değişim gözlenmemektedir. Bu durum şu şekilde açıklanabilir: Her ne kadar rölede semboller daha az hatalı çözülsün de ikinci zaman diliminde $R-D_2$ arasındaki kanal kalitesinin düşük olması sebebiyle hata oranı artmaktadır ve bu da uçtan-uca hata performansında baskın olmaktadır.

Son olarak kaynaktaki ve röledeki güç paylaşım katsayılarının kullanıcıların hata performansları üzerindeki etkilerini



Şekil 3: Çöz-aktar işbirlikli NOMA için hata performansı, $m_{sr} = 2$, $m_{r1} = 3$ ve $m_{r2} = 1$



Şekil 4: Hata performanslarının güç paylaşım katsayılarına göre değişimi a) D_1 b) D_2

araştırmak adına, güç paylaşım katsayılarının değişimine göre hata performanslarının değişimi Şekil 4'te verilmiştir. Şekil 4'te $\rho_s = 20dB$, $m_{sr} = m_{r1} = m_{r2} = 2$, $\Omega_{sr} = 10dB$, $\Omega_{r1} = 10dB$ ve $\Omega_{r2} = 0dB$ olarak varsayılmıştır. Beklenildiği üzere kaynakta ya da rölede D_2 kullanıcısının sembollerine (x_2) aktarılan güç oranı artırıldığında (α_1 , β_1 azaldığında), D_2 'nin hata performansı iyileşmektedir. Fakat, α_1 veya β_1 'in artması D_1 performansı için her zaman bir kazanç getirmeyebilir. Bu durum şu şekilde açıklanabilir. x_1 sembollerine aktarılan gücün çok fazla artması sonucunda, x_2 sembollerinin demodüle edilmesi sırasında hata oranı artmaktadır. Hem rölede hem de D_1 kullanıcılarında SIC işlemi için önce x_2 sembolleri demodüle edilmek zorunda olduğu için hata oranındaki bu artış aynı zamanda D_1 kullanıcısının hata performansını da düşürmektedir.

V. SONUÇ VE TARTIŞMA

Bu çalışmada çöz-aktar protokolü kullanılan işbirlikli NOMA sistemi için uçtan-uca bit hata olasılıkları ifadesi

Nakagami-m sönümlmeli kanallarda türetilmiştir. Elde edilen ifadeler bilgisayar benzetimleri desteklenmiştir. Hata performansı üzerinde kanal durumlarının ve güç paylaşım katsayılarının etkileri tartışılmıştır. İşbirlikli NOMA sistemlerinde çeşitlilik derecesinin düğümler arasındaki minimum biçim parametresine (m) bağlı olduğu gösterilmiştir. Bu çalışmada sabit güç paylaşım katsayıları kullanılmış olup, farklı kriterler altında optimum güç paylaşımının araştırılması gelecek çalışmalara bırakılmıştır. Ayrıca, bu çalışmanın hem işbirlikli NOMA sistemlerinin farklı kanallardaki hata analizlerine hem de diğer NOMA sistemlerinin hata analizlerine katkı sunacağı beklenmektedir.

BİLGİLENDİRME

Zonguldak Bülent Ecevit Üniversitesi BAP birimi tarafından 2019-75737790-01 numaralı proje ile desteklenmektedir.

KAYNAKLAR

- [1] Y. Saito, Y. Kishiyama, A. Benjebbour, T. Nakamura, A. Li, and K. Higuchi, "Non-Orthogonal Multiple Access (NOMA) for Cellular Future Radio Access," in *2013 IEEE 77th Veh. Technol. Conf. (VTC Spring)*. IEEE, jun 2013, pp. 1–5.
- [2] J.-B. Kim and I.-H. Lee, "Capacity Analysis of Cooperative Relaying Systems Using Non-Orthogonal Multiple Access," *IEEE Commun. Lett.*, vol. 19, no. 11, pp. 1949–1952, 2015.
- [3] Z. Ding, M. Peng, and H. V. Poor, "Cooperative Non-Orthogonal Multiple Access in 5G Systems," *IEEE Commun. Lett.*, vol. 19, no. 8, pp. 1462–1465, aug 2015.
- [4] Y. Liu, G. Pan, H. Zhang, and M. Song, "Hybrid Decode-Forward Amplify-Forward Relaying with Non-Orthogonal Multiple Access," *IEEE Access*, vol. 4, pp. 4912–4921, 2016.
- [5] Y. Liu, W. J. Lu, S. Shi, Q. Wu, B. Li, Z. Li, and H. B. Zhu, "Performance Analysis of a Downlink Cooperative NOMA Network over Nakagami-m Fading Channels," *IEEE Access*, vol. 6, pp. 53034–53043, 2018.
- [6] M. F. Kader, M. B. Shahab, and S. Y. Shin, "Exploiting Non-Orthogonal Multiple Access in Cooperative Relay Sharing," *IEEE Commun. Lett.*, vol. 21, no. 5, pp. 1159–1162, 2017.
- [7] H. Liu, Z. Ding, K. J. Kim, K. S. Kwak, and H. V. Poor, "Decode-and-Forward Relaying for Cooperative NOMA Systems with Direct Links," *IEEE Trans. Wirel. Commun.*, vol. 17, no. 12, pp. 8077–8093, 2018.
- [8] Z. Ding, H. Dai, and H. V. Poor, "Relay Selection for Cooperative NOMA," *IEEE Trans. Veh. Technol.*, vol. 5, no. 4, pp. 416–419, 2016.
- [9] Y. Li, Y. Li, X. Chu, Y. Ye, and H. Zhang, "Performance analysis of relay selection in cooperative noma networks," *IEEE Commun. Lett.*, vol. 23, no. 4, pp. 760–763, 2019.
- [10] F. Kara and H. Kaya, "The error performance analysis of the decode-forward relay-aided-NOMA systems and a power allocation scheme for user fairness," *J. Fac. Eng. Archit. Gazi Univ.*, vol. 35, no. 1, pp. 97–108, 2020.
- [11] F. Kara and H. Kaya, "Threshold-Based Selective Cooperative-NOMA," *IEEE Commun. Lett.*, vol. 23, no. 7, pp. 1263–1266, jul 2019.
- [12] M. K. Simon and M.-S. Alouini, *Digital Communication over Fading Channels*, P. J. G., Ed. Hoboken, NJ, USA: John Wiley & Sons, Inc., nov 2004.
- [13] F. Kara and H. Kaya, "Derivation of the closed-form BER expressions for DL-NOMA over Nakagami-m fading channels," in *2018 26th Signal Process. Commun. Appl. Conf. IEEE*, may 2018, pp. 1–4.
- [14] I. Gradshteyn and I. Ryzhik, *Table of Integrals, Series, and Products*, 5th ed. San Diego, CA: Academic Press, feb 1994.
- [15] F. Kara and H. Kaya, "Error Probability Analysis of NOMA-based Diamond Relaying Network," *IEEE Trans. Veh. Technol.*, vol. 69, no. 2, pp. 2280–2285, 2020.